

УДК 547.551.51:548.737

**СТРУКТУРА МОЛЕКУЛЯРНЫХ СОКРИСТАЛЛОВ
18-КРАУН-6 И ПОЛИГАЛОГЕНО-МЕТА-ФЕНИЛЕНДИАМИНОВ**

Т.А. Ваганова¹, Ю.В. Гатилов^{1,2}, В.И. Родионов¹, Е.В. Малыхин¹

¹Новосибирский институт органической химии им. Н.Н. Ворожцова СО РАН, Россия

E-mail: malykhin@nioch.nsc.ru

²Новосибирский национальный исследовательский государственный университет, Россия

Статья поступила 4 августа 2015 г.

Мотивом супрамолекулярной архитектуры сокристаллов 18-краун-6 и полихлорполифтор-1,3-фенилендиаминов или частично фторированных 1,3-фенилендиаминов (стехиометрия 1:1) являются бесконечные 1D ансамбли из чередующихся компонентов. Взаимная координация молекул в ансамблях обусловлена водородной связью между атомами кислорода краун-эфира и водорода аминогрупп полифторарена. Параметры архитектуры сокристаллов определяются влиянием количества и расположения заместителей (атомы хлора и фтора) в полигалогенированном ароматическом кольце.

DOI: 10.15372/JSC20160624

Ключевые слова: молекулярные кристаллы, супрамолекулярная архитектура, рентгеноструктурный анализ, полифторированные соединения, ароматические диамины, 18-краун-6 эфир, функциональные материалы.

При смешении растворов 18-краун-6 и полифторароматических диаминов с бензольным, нафтилиновым [1, 2] и пиридиновым оставами [3] образуются молекулярные сокристаллы постоянного состава 1:1 с узким температурным интервалом плавления 1–2 °C. Супрамолекулярная архитектура сокристаллов представляет собой параллельные 1D ансамбли (стержни) с альтернативным расположением компонентов. 18-Краун-6 и перфторированные 1,4-фенилен- и 2,6-нафтилендиамины (взаимное *пара*- и псевдо-*пара*-расположение аминогрупп соответственно) образуют "попарно параллельные" конструкции (рис. 1, *a*), тогда как полифторированные 1,3-фенилен- и 2,7-нафтилендиамины (взаимное *мета*- и псевдо-*мета*-расположение аминогрупп соответственно) — "зигзагообразные" (см. рис. 1, *b*). Элементарное звено стержня, как правило, состоит из четырех молекул, так как молекулы краун-эфира зачастую присутствуют в сокристаллах в двух конформациях 3(TGT,T-GT) и 2(TGT,TGT,GGT) (обозначение конформаций см. [4]).

Сокристаллы с попарно параллельным расположением компонентов обладают большей мольной теплотой плавления по сравнению с сокристаллами, содержащими зигзагообразно

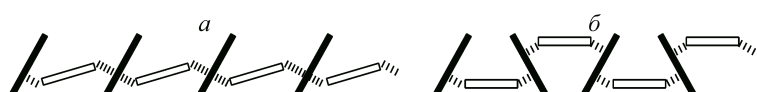


Рис. 1. Графическое изображение супрамолекулярных 1D мотивов:
попарно-параллельный (*a*); зигзагообразный (*b*)

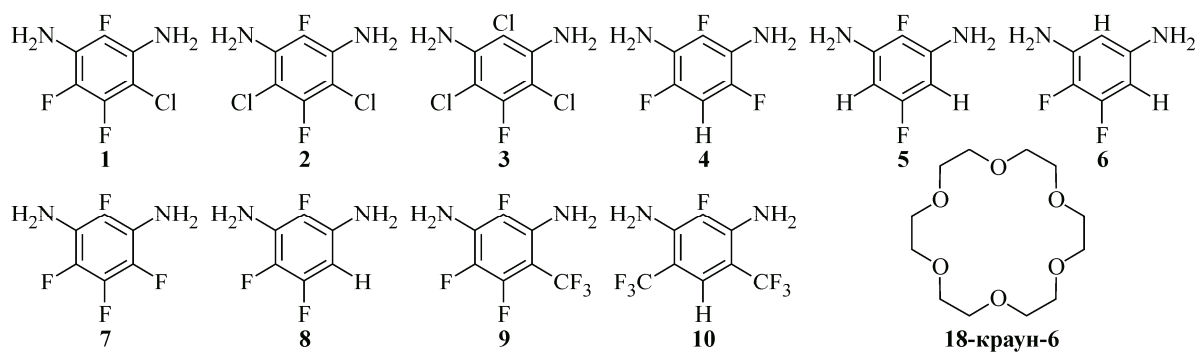


Рис. 2. Структуры полифторированных *мета*-фенилендиаминов

расположенные компоненты, а в ряду сокристаллов одинакового супрамолекулярного строения теплота плавления увеличивается при уменьшении размера ароматического остова [1, 2]. Для полифтораренов с взаимным *мета*-расположением аминогрупп — 1,3-фенилендиаминов, α,α' - и α,γ -диаминопиридинов — найдена обратная линейная зависимость между мольной теплотой плавления сокристаллов и длиной элементарного звена стержня [3].

Помимо интереса к фундаментальным закономерностям супрамолекулярной архитектуры органических сокристаллов существенно их прикладное использование. Так, селективное образование сокристаллов с большей теплотой плавления из растворов смесей изомерных диаминов и недостатка краун-эфира нашло применение в методе высокой очистки полифторароматических диаминов [5], используемых в качестве мономеров для полифторированных полиимидов [6]. Эти полимеры являются модификаторами эпоксидных композиций [7], материалами для газоразделительных слоев [8], матрицами для электрооптических НЛО-материалов, прозрачными в ближнем ИК диапазоне [9].

Настоящая работа посвящена синтезу и рентгеноструктурному анализу сокристаллов 18-краун-6 и некоторых X_n -замещенных ($X = \text{Cl}$ или H ; $n = 1, 2, 3$) полифтор-*мета*-фенилендиаминов стехиометрии 1:1. Цель заключается в изучении влияния природы, количества и взаимного расположения заместителей в ароматическом остове на геометрические параметры 1D ансамблей и поиске закономерностей, связывающих химическую структуру фенилендиамина с супрамолекулярной архитектурой сокристаллов.

С использованием 18-краун-6 и 2,5,6-трифтор-4-хлор- (1), 2,5-дифтор-4,6-дихлор- (2), 5-фтор-2,4,6-трихлор- (3), 2,4,6-трифтор- (4), 2,5-дифтор- (5) и 4,5-дифтор- (6) -1,3-фенилендиаминов, структуры которых представлены на рис. 2, синтезированы ассоциаты А-1—А-6 соответственно; их CIF-файлы депонированы в КБСД (табл. 1, предварительное сообщение см. [10]) и общедоступны на сайте www.ccdc.cam.ac.uk/data_request/cif.

Набор полифторароматических субстратов характеризуется монотонным увеличением количества отличных от F заместителей — атомов H или Cl. Для обсуждения результатов привлечены полученные нами ранее [1, 2] PCA данные для ассоциатов 2,4,5,6-тетрафтор- (7) и 2,4,5-трифтор- (8), 4-трифторметил-2,5,6-трифтор- (9) и 4,6-бис(трифторметил)-2,5-дифтор- (10) -1,3-фенилендиаминов (CCDC refcodes EPAQIW, IVIFID, IVIFOJ и IVIFUP соответственно).

ЭКСПЕРИМЕНТАЛЬНАЯ ЧАСТЬ

Спектры ЯМР ^1H и ^{19}F записаны на приборе Bruker AV-300, в качестве внутреннего стандарта использовали сигналы остаточных протонов растворителя ацетон- d_6 (2,04 м.д.) и C_6F_6 (-163,5 м.д.) соответственно, константы J приведены в герцах. ИК спектры образцов записаны на приборе Vector-22 фирмы Bruker в режиме диффузного отражения. Температуры плавления образцов определены на приборе Темп-2 в автоматическом режиме. Точный молекулярный вес ионов определен на масс-спектрометре высокого разрешения Thermo Scientific DFS, энергия ионизации 70 эВ.

Т а б л и ц а 1

Кристаллографические данные и параметры уточнения ассоциатов А-1—А-3

Параметр	A-1	A-2	A-3
Формула	C ₆ H ₄ ClF ₃ N ₂ , C ₁₂ H ₂₄ O ₆	C ₆ H ₄ Cl ₂ F ₂ N ₂ , C ₁₂ H ₂₄ O ₆	C ₆ H ₄ Cl ₃ FN ₂ , C ₁₂ H ₂₄ O ₆
Мол. масса	460,87	477,32	493,77
Сингония	Триклинная	Моноклинная	Моноклинная
Пр. гр.; Z	P-1; 2	P2 ₁ /n; 4	P2 ₁ /n; 4
a, Å	7,8910(3)	7,5878(3)	7,4745(5)
b, Å	9,3201(4)	16,1393(6)	16,427(1)
c, Å	15,5551(7)	18,2435(7)	18,526(1)
α, град.	81,968(2)		
β, град.	79,420(2)	99,228(1)	98,200(2)
γ, град.	77,344(2)		
V, Å ³	1091,31(8)	2205,2(1)	2251,4(3)
d _{выч} , г/см ³	1,403	1,438	1,457
μ, мм ⁻¹	0,237	0,348	0,452
θ _{макс} , град.; полнота	28; 0,974	28; 0,996	28; 0,996
I _{hkl} изм. / незав.	21963 / 5218	46101 / 5267	49745 / 5555
R _{int} / I _{hkl} > 2σ(I)	0,0243 / 4387	0,0342 / 4294	0,0288 / 4772
N _{нап} / S	288 / 1,075	288 / 1,097	287 / 1,131
R ₁ / wR ₂ (I > 2σ)	0,0344 / 0,0975	0,0289 / 0,0809	0,0266 / 0,0763
R ₁ / wR ₂	0,0434 / 0,1093	0,0414 / 0,0951	0,0339 / 0,0870
CCDC номер	1045926	1045927	1045928
Параметр	A-4	A-5	A-6
Формула	C ₆ H ₅ F ₃ N ₂ , C ₁₂ H ₂₄ O ₆	C ₆ H ₆ F ₂ N ₂ , C ₁₂ H ₂₄ O ₆	C ₆ H ₆ F ₂ N ₂ , C ₁₂ H ₂₄ O ₆
Мол. масса	426,43	408,44	408,44
Сингония	Триклинная	Ромбическая	Моноклинная
Пр. гр.; Z	P-1; 2	Pbca; 8	C2/c; 4
a, Å	7,8488(4)	15,5320(7)	13,494(1)
b, Å	9,6918(5)	14,3304(7)	11,045(1)
c, Å	14,5703(6)	18,7192(8)	14,644(1)
α, град.	104,752(2)		
β, град.	95,978(2)		109,579(3)
γ, град.	103,399(2)		
V, Å ³	1026,84(9)	4166,5(3)	2056,3(3)
d _{выч} , г/см ³	1,379	1,302	1,319
μ, мм ⁻¹	0,120	0,108	0,110
θ _{макс} , град.; полнота	29; 0,950	26; 0,999	30; 0,992
I _{hkl} изм. / незав.	16446 / 5327	32175 / 4069	30924 / 2995
R _{int} / I _{hkl} > 2σ(I)	0,0247 / 4205	0,0318 / 3158	0,0225 / 2733
N _{нап} / S	279 / 1,083	269 / 0,963	141 / 1,067
R ₁ / wR ₂ (I > 2σ)	0,0388 / 0,1089	0,0300 / 0,0824	0,0359 / 0,0974
R ₁ / wR ₂	0,0539 / 0,1267	0,0502 / 0,1046	0,0389 / 0,1001
CCDC номер	1415617	1045924	1045925

Для синтеза ассоциатов использованы фенилендиамины, полученные по методикам [11]: 2,5,6-трифтор-4-хлор-1,3-фенилендиамин (**1**), $T_{\text{пл}}$ 133—134 °C; 2,5-дифтор-4,6-дихлор-1,3-фенилендиамин (**2**), $T_{\text{пл}}$ 137,5—138,7 °C; 5-фтор-2,4,6-трихлор-1,3-фенилендиамин (**3**), $T_{\text{пл}}$ 155,2—155,5 °C; 2,5-дифтор-1,3-фенилендиамин (**5**), $T_{\text{пл}}$ 47—48 °C; 4,5-дифтор-1,3-фенилендиамин (**6**). 2,4,6-Трифтор-1,3-фенилендиамин (**4**), синтезированный по методике [12], имеет ^1H ЯМР спектр идентичный опубликованному; спектр ^{19}F ЯМР (ацетон- d_6 , δ (м.д.), J (Гц): —152,0 (дт, 1F, F(2), $J_{\text{FF}} = 5$, $J_{\text{HF}} = 2$), —147,8 (дд, 2F, F(4,6), $J_{\text{FF}} = 5$, $J_{\text{HF}} = 11$), МСВР: найдено 162,0401, рассчитано для $\text{C}_6\text{H}_5\text{N}_2\text{F}_3$ 162,0339, $T_{\text{пл}}$ 95—96 °C. 18-Краун-6 выделен из комплекса с ацетонитрилом (коммерческий продукт), растворители (метил-*t*-бутиловый эфир — МТБЭ, ацетон, гексан, CCl_4) осушены и перегнаны перед использованием.

Получение ассоциатов полифторфенилендиаминов 1—6 с 18-краун-6 (общая методика). К раствору 10 ммолей полигалогенофенилендиамина в 10 мл МТБЭ (диамина **3** в гексане) прибавляют раствор 10,6 ммоля 18-краун-6 в 10 мл МТБЭ (при получении ассоциата **A-3** — в гексане), смесь выдерживают при комнатной температуре и перемешивании в течение ~1—2 ч. Сформировавшийся мелкокристаллический осадок отфильтровывают, промывают на фильтре 5 мл МТБЭ (ассоциат **A-3** гексаном), высушивают в вакууме мембранным насоса (0,5 мм Hg).

Монокристаллы для РСА выращены из растворов ассоциатов **A-1**, **A-2** и **A-4** — в ацетоне, **A-3** — в гексане, **A-5** — в МТБЭ, **A-6** — в CCl_4 .

Ассоциат 2,5,6-трифтор-4-хлор-1,3-фенилендиамина **1** с 18-краун-6, 1:1 (**A-1**), $\text{C}_{12}\text{H}_{24}\text{O}_6 \cdot \text{C}_6\text{H}_4\text{N}_2\text{F}_3\text{Cl}$, $T_{\text{пл}}$ 93—94 °C (из ацетона). Выход 86 % (МТБЭ). ЯМР ^1H (ацетон- d_6 , δ, м.д.): 3,56 (уш. с., 24H, CH_2), 4,95, 5,17 (два уш. с равной интенс., 2H каждый, NH_2). ЯМР ^{19}F (ацетон- d_6 , δ, м.д.): —172,0 (дд, 1F, F(4), $J_{\text{FF}} = 2$, $J_{\text{HF}} = 22$) —157,5 (дд, 1F, F(2), $J_{\text{FF}} = 2$, $J_{\text{HF}} = 8$), —147,8 (дд, 1F, F(5), $J_{\text{FF}} = 8$, $J_{\text{HF}} = 22$). ИК спектр, $\nu/\text{см}^{-1}$: 3429, 3387, 3350, 3246 (NH_2); 2880 (уш.), 1497, 1473 ($\text{C}_{\text{алиф.}}\text{—H}$); 1639 ($\text{C}_{\text{аром.}}\text{—C}_{\text{аром.}}$); 1352 ($\text{C}_{\text{аром.}}\text{—N}$); 1249 ($\text{C}_{\text{аром.}}\text{—Cl}$); 1109 ($\text{C}_{\text{алиф.}}\text{—O}$).

Ассоциат 2,5-дифтор-4,6-дихлор-1,3-фенилендиамина **2** с 18-краун-6, 1:1 (**A-2**), $\text{C}_{12}\text{H}_{24}\text{O}_6 \cdot \text{C}_6\text{H}_4\text{N}_2\text{F}_2\text{Cl}_2$, $T_{\text{пл}}$ 92—93 °C (из ацетона). Выход 64 % (МТБЭ). ЯМР ^1H (ацетон- d_6 , δ, м.д.): 3,58 (уш. с., 24H, CH_2), 5,09 (уш. с., 4H, NH_2). ЯМР ^{19}F (ацетон- d_6 , δ, м.д.): —156,9 (д, 1F, F(2), $J_{\text{FF}} = 9$), —123,0 (д, 1F, F(5), $J_{\text{FF}} = 9$). ИК спектр, $\nu/\text{см}^{-1}$: 3383, 3333, 3246 (NH_2); 2878 (уш.), 1489, 1465 ($\text{C}_{\text{алиф.}}\text{—H}$); 1641 ($\text{C}_{\text{аром.}}\text{—C}_{\text{аром.}}$); 1350 ($\text{C}_{\text{аром.}}\text{—N}$); 1249 ($\text{C}_{\text{аром.}}\text{—Cl}$); 1105 ($\text{C}_{\text{алиф.}}\text{—O}$).

Ассоциат 5-фтор-2,4,6-трихлор-1,3-фенилендиамина **3** с 18-краун-6, 1:1 (**A-3**), $\text{C}_{12}\text{H}_{24}\text{O}_6 \cdot \text{C}_6\text{H}_4\text{N}_2\text{FCl}_3$, $T_{\text{пл}}$ 52—53 °C (из гексана). Выход 69 % (гексан). ЯМР ^1H (ацетон- d_6 , δ, м.д.): 3,57 (уш. с., 24H, CH_2), 5,35 (уш. с., 4H, NH_2). ЯМР ^{19}F (ацетон- d_6 , δ, м.д.): —117,3 (с, 1F, F(5)). ИК спектр, $\nu/\text{см}^{-1}$: 3375, 3325, 3251 (NH_2); 2878 (уш.), 1450 ($\text{C}_{\text{алиф.}}\text{—H}$); 1631 ($\text{C}_{\text{аром.}}\text{—C}_{\text{аром.}}$); 1350 ($\text{C}_{\text{аром.}}\text{—N}$); 1249 ($\text{C}_{\text{аром.}}\text{—Cl}$); 1103 ($\text{C}_{\text{алиф.}}\text{—O}$).

Ассоциат 2,4,6-трифтор-1,3-фенилендиамина **4** с 18-краун-6, 1:1 (**A-4**), $\text{C}_{12}\text{H}_{24}\text{O}_6 \cdot \text{C}_6\text{H}_5\text{N}_2\text{F}_3$, $T_{\text{пл}}$ 80—82 °C (из ацетона). Выход 81,5 % (МТБЭ). ЯМР ^1H (ацетон- d_6 , δ, м.д.): 3,58 (уш. с., 24H, CH_2), 4,31 (уш. с., 4H, NH_2), 6,68 (дт, 1H, H(5), $J_{\text{HF}} = 2$, 11). ЯМР ^{19}F идентичен спектру диамина **4**. ИК спектр, $\nu/\text{см}^{-1}$: 3423, 3391, 3345 (NH_2); 2878 (уш.), 1492, 1512 ($\text{C}_{\text{алиф.}}\text{—H}$); 1641, 1610 ($\text{C}_{\text{аром.}}\text{—C}_{\text{аром.}}$); 1350 ($\text{C}_{\text{аром.}}\text{—N}$); 1107 ($\text{C}_{\text{алиф.}}\text{—O}$).

Ассоциат 2,5-дифтор-1,3-фенилендиамина **5** с 18-краун-6, 1:1 (**A-5**), $\text{C}_{12}\text{H}_{24}\text{O}_6 \cdot \text{C}_6\text{H}_6\text{N}_2\text{F}_2$, $T_{\text{пл}}$ 112,5—113,5 °C (из МТБЭ). Выход 89 % (МТБЭ). ЯМР ^1H (ацетон- d_6 +ДМСО, δ, м.д.): 3,57 (уш. с., 24H, CH_2), 4,80 (уш. с., 4H, NH_2), 5,82 (дд, 2H, H(4,6), $J_{\text{HF}} = 6$, 10). ЯМР ^{19}F (ацетон- d_6 , δ, м.д.): —165,2 (дт, 1F, F(2), $J_{\text{FF}} = 13$, $J_{\text{HF}} = 6$), —120,0 (дт, 1F, F(5), $J_{\text{FF}} = 13$, $J_{\text{HF}} = 10$). ИК спектр, $\nu/\text{см}^{-1}$: 3474, 3425, 3375, 3234 (NH_2); 2880 (уш.), 1467 ($\text{C}_{\text{алиф.}}\text{—H}$); 1633 ($\text{C}_{\text{аром.}}\text{—C}_{\text{аром.}}$); 1350 ($\text{C}_{\text{аром.}}\text{—N}$); 1107 ($\text{C}_{\text{алиф.}}\text{—O}$).

Ассоциат 4,5-дифтор-1,3-фенилендиамина **6** с 18-краун-6, 1:1 (**A-6**), $\text{C}_{12}\text{H}_{24}\text{O}_6 \cdot \text{C}_6\text{H}_6\text{N}_2\text{F}_2$, $T_{\text{пл}}$ 100—101 °C (из CCl_4). ЯМР ^1H (ацетон- d_6 +ДМСО, δ, м.д.): 3,58 (уш. с., 24H, CH_2), 4,45, 4,65 (два уш. с равной интенс., 2H каждый, NH_2), 5,78 (дд, 1H, H(6), $J_{\text{HH}} = 2$, $J_{\text{HF}} = 6$, 13), 5,91 (дд, 1H, H(2), $J_{\text{HH}} = 2$, $J_{\text{HF}} = 2$, 7). ЯМР ^{19}F (ацетон- d_6 , δ, м.д.): —176,7 (дд, 1F, F(4), $J_{\text{FF}} = 20$, $J_{\text{HF}} = 6$, 7),

$-141,5$ (ддд, 1F, F(5), $J_{\text{FF}} = 20$, $J_{\text{HF}} = 2, 13$). ИК спектр, $\nu/\text{см}^{-1}$: 3437, 3334, 3213 (NH_2); 2879 (уш.), 1466 ($\text{C}_{\text{алиф.}}-\text{H}$); 1625 ($\text{C}_{\text{аром.}}-\text{C}_{\text{аром.}}$); 1350 ($\text{C}_{\text{аром.}}-\text{N}$); 1108 ($\text{C}_{\text{алиф.}}-\text{O}$).

Рентгеноструктурное исследование ассоциатов A-1—A-6. Рентгенодифракционный эксперимент монокристаллов ассоциатов проведен на дифрактометре Bruker Кappa APEX II (MoK_{α} -излучение, графитовый монохроматор, CCD-детектор, ϕ, ω -сканирование) при температуре 150 К. Кристаллографические данные и параметры уточнения структур приведены в табл. 1. Структуры расшифрованы прямым методом и уточнены в анизотропно-изотропном приближении по программе SHELXL-97 [13]. Положения атомов водорода в фенилендиаминах и 18-краун-6 задано геометрически и уточнено в модели наездника. Положения атомов водорода аминогрупп взяты из разностного синтеза и уточнены в изотропном приближении. В кристалле A-6 наблюдается разупорядоченность атомов H и F в положениях 4 и 6 фенилендиамина в соотношении 0,50:0,50, связанная с расположением молекулы на оси C_2 . Геометрический анализ выполнен с использованием программы PLATON [14] и MERCURY [15].

ОБСУЖДЕНИЕ РЕЗУЛЬТАТОВ

Ассоциаты 18-краун-6 и полифтораренов 1—6 получены из растворов эквимолярных количеств компонентов в сухих аprotонных растворителях. Молекулярные ассоциаты A-1—A-6 имеют стехиометрию 1:1, как и ассоциаты A-7—A-10 [1, 2]. Монокристаллы для РСА выращены из растворов A-1—A-6, воспроизведение при этом их состава подтверждают данные ^1H ЯМР о соотношении интенсивностей сигналов протонов аминогрупп аrena и метиленовых групп краун-эфира. ИК спектры сокристаллов, записанные в режиме диффузного отражения, содержат более двух полос в области поглощения ассоциированных аминогрупп водородосвязанных структур (3400 — 3100 см^{-1}) [16]. Сокристаллы имеют узкие интервалы температур плавления, отличные от температур плавления индивидуальных компонентов и воспроизводящиеся в цикле плавление—кристаллизация. Строение фрагментов ассоциатов представлено на рис. 3, 4.

Включение молекул полифторарилендиаминов в состав ассоциатов с краун-эфиром, как было показано в работах [1—3], существенно не изменяет длины связей и валентные углы. Во всех фенилендиаминах в составе ассоциатов длины связей $\text{C}_{\text{ар.}}-\text{C}_{\text{ар.}}$, $\text{C}_{\text{ар.}}-\text{F}$, $\text{C}_{\text{ар.}}-\text{N}$, $\text{C}_{\text{ар.}}-\text{Cl}$ близки к средним значениям для ароматических соединений [17]. Аминогруппы во всех ассоциатах имеют пирамидальное строение, расстояние между атомами азота аминогрупп ($\text{N}_{\text{амин}}\dots\text{N}_{\text{амин}}$) фенилендиаминов лишь незначительно зависит от объема *ортого*-расположенных заместителей в положениях 4 и 6 (табл. 2, колонка 2). Так, при двух малообъемных *ортого*-атомах H, F или Cl (ван-дер-ваальсовы радиусы $<2 \text{ \AA}$ [18]) расстояние $\text{N}_{\text{амин}}\dots\text{N}_{\text{амин}}$ составляет 4,82—4,89 Å (A-1—A-5, A-7, A-8). В фенилендиамине ассоциата A-6, в котором между амино-

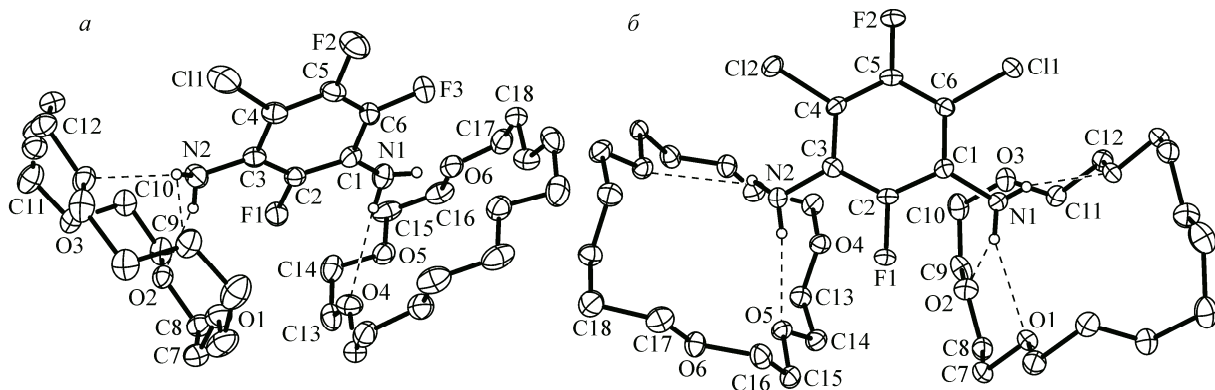


Рис. 3. Строение ассоциатов A-1 (a) и A-2 (б), нумерация приведена для кристаллографически независимых атомов фрагментов стержня. Ассоциат A-3 изоструктурен A-2, а структура ассоциата A-4 аналогична структуре A-1

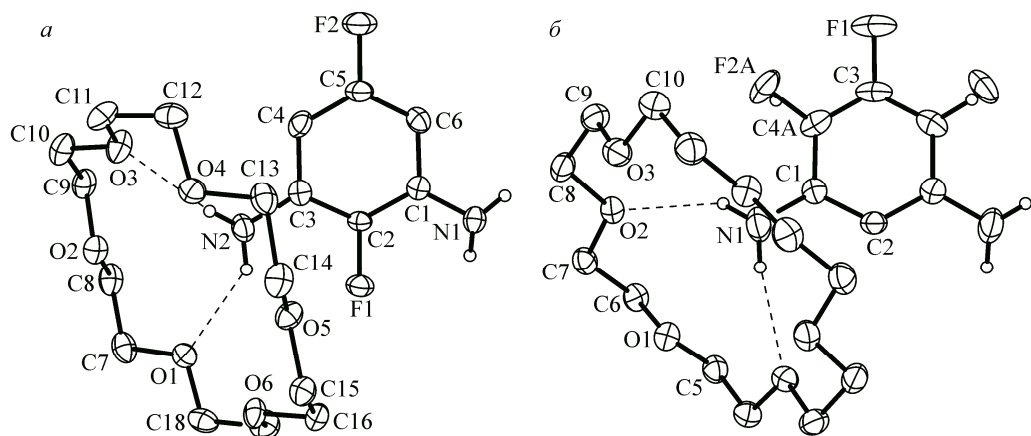


Рис. 4. Строение ассоциатов А-5 (а) и А-6 (б), нумерация приведена для кристаллографически независимых атомов фрагментов стержня

группами находится атом водорода, это расстояние равно 4,80 Å. Замена одного или двух атомов фтора трифторметильной группой (ван-дер-ваальсов радиус группы ~2,4 Å [19]) приводит к уменьшению расстояния N_{амин}...N_{амин} до 4,76 и 4,71 Å в ассоциатах А-9 и А-10 соответственно. Таким образом, объемная CF₃-группа в *ортого*-положениях "подпирает" аминогруппу, незначительно уменьшая расстояние N_{амин}...N_{амин}.

Интересно конформационное состояние молекул 18-краун-6 в ассоциатах А-1—А-10. Конформация 2(TGT,TGT,GGT) реализуется в ассоциатах пергалогенированных соединений — тетрафтор-, дихлордифтор- и трихлорфторфенилендиаминов (А-7, А-2 и А-3 соответственно, см. рис. 3). Более стабильная на 13,4 кДж/моль [2] конформация корона 3(TGT,T-GT) наблю-

Таблица 2

Супрамолекулярные параметры стержней в ассоциатах А-1—А-10

Ассоциат	Расстояние N _{амин} —N _{амин} , Å	Направление оси стержня	Длина звена стержня / модуль крист. оси, Å	Наклон плоскости 18-краун-6 к оси стержня, град.	Двугранный угол между плоскостями 18-краун-6, град.	Наклон плоскости диамина к оси стержня, град.	Двугранный угол между плоскостями арилендиамина, град.	Сдвиг стержней относительно друг друга, % к l _U
А-1	4,82	c	15,56	42; 132	89	4	0	0
А-2	4,83	b	16,14	35; 145	109	2	0	0
А-3	4,86	b	16,43	33; 146	112	2	0	0
А-4	4,89	a+b+c	15,39	56; 125	34	24	0	15
А-5	4,82	a	15,53	67; 113	35	16	9	25
А-6	4,80	c	14,64	51; 129	67	23	0	25
А-7 ^a	4,86	b	16,10	37; 143	107	1	0	0
А-8 ^b	4,84	a	15,68	65, 115	40	17	4	25
А-9 ^b	4,76	c	15,50	49; 135	86	12	0	12
А-10 ^b	4,71	a+c	16,44	44; 132	93	16	0	15

^a [1].

^b [2].

дается в ассоциатах дифтор- и трифторфенилендиаминов (**A-5**, **A-6** и **A-8** соответственно, см. рис. 4). В остальных ассоциатах наблюдается чередование двух этих конформаций.

В сокристаллах имеют место контакты между атомами компонентов на расстояниях, меньших суммы ван-дер-ваальсовых радиусов, классифицируемые как водородные связи. К ним относятся контакты между атомами водорода краун-эфира и атомами фтора ($C_{\text{краун}}-\text{H}\dots\text{F}-C_{\text{арилен}}$) или атомами азота ($C_{\text{краун}}-\text{H}\dots\text{N}_{\text{арилен}}$) ариленидиамина, а также реализующийся исключительно между чередующимися молекулами фенилендиамина и краун-эфира контакт $C_{\text{арилен}}-\text{N}-\text{H}\dots\text{O}-C_{\text{краун}}$. Очевидно, что первые два межмолекулярных контакта не способны выполнять структурообразующую функцию, поскольку эти взаимодействия малоэнергетичны [20]. Напротив, взаимодействие $C_{\text{арилен}}-\text{N}-\text{H}\dots\text{O}-C_{\text{краун}}$ достаточно энергоёмко [21] и способно быть синтоном, образующим водородосвязанный ассоциат. Геометрические параметры связи $C_{\text{арилен}}-\text{N}-\text{H}\dots\text{O}-C_{\text{краун}}$ (табл. 3) в зависимости от структуры диамина варьируются в пределах: $l_{\text{N}\dots\text{O}}$ 3,065(2)–3,312(2) Å; $l_{\text{N}-\text{H}}$ 0,83(2)–0,93(2) Å; $l_{\text{H}\dots\text{O}}$ 2,23(2)–2,58(5) Å; угол $\text{N}-\text{H}\dots\text{O}$ 127(2)–178(2)°. Таким образом, супрамолекулярная архитектура сокристаллов **A-1**–**A-6**, как и сокристаллов **A-7**–**A-10**, имеет общий для них 1D мотив — стержни из чередующихся молекул фенилендиамина и краун-эфира. В качестве примеров на рис. 5 изображено строение стержня **A-2**, типичное для ассоциатов пергалогенированных фенилендиаминов, а на рис. 6 —

Таблица 3

*Параметры межмолекулярных водородных связей в ассоциатах **A-1**–**A-6***

Ассоциат	$\text{N}-\text{H}\dots\text{O}$	$\text{N}-\text{H}, \text{\AA}$	$\text{H}\dots\text{O}, \text{\AA}$	$\text{N}\dots\text{O}, \text{\AA}$	$\angle\text{N}-\text{H}\dots\text{O}$, град.
A-1	N1—H1B…O4	0,86(2)	2,47(2)	3,312(2)	165(2)
	N2—H2A…O2	0,85(2)	2,33(2)	3,144(2)	162(2)
	N2—H2B…O2	0,84(2)	2,29(2)	3,065(2)	153(2)
	N2—H2B…O3	0,84(2)	2,54(2)	3,118(2)	127(2)
A-2	N1—H1A…O1	0,85(2)	2,34(2)	3,116(1)	154(2)
	N1—H1A…O2	0,85(2)	2,58(2)	3,194(2)	131(1)
	N1—H1B…O1	0,86(2)	2,34(2)	3,173(2)	164(2)
	N2—H2A…O5	0,83(2)	2,28(2)	3,105(2)	174(2)
	N2—H2B…O5	0,84(2)	2,53(2)	3,268(2)	147(2)
A-3	N1—H1A…O1	0,86(2)	2,40(2)	3,220(1)	158(2)
	N1—H1B…O1	0,84(2)	2,35(2)	3,162(1)	163(2)
	N2—H2A…O5	0,87(2)	2,39(2)	3,248(1)	171(1)
	C7—H7A…Cl1	0,99	2,81	3,521(1)	129
A-4	N1—H1A…O1	0,88(2)	2,37(2)	3,252(2)	178(2)
	N1—H1B…O1	0,87(2)	2,26(2)	3,101(2)	163(2)
	N2—H2A…O4	0,87(2)	2,48(2)	3,204(2)	142(2)
	N2—H2B…O6	0,89(2)	2,23(2)	3,119(2)	177(2)
	C5—H5…F3	0,95	2,41	3,239(2)	146
	C16—H16A…F1	0,99	2,47	3,252(2)	135
	C18—H18B…F2	0,99	2,45	3,298(2)	144
A-5	N1—H1A…O6	0,86(1)	2,41(2)	3,239(2)	161(1)
	N2—H2A…O1	0,85(1)	2,51(1)	3,150(2)	133(1)
	N2—H2B…O3	0,86(1)	2,30(1)	3,143(2)	169(1)
	C8—H8A…N1	0,99	2,60	3,577(2)	167
	C9—H9B…O4	0,99	2,55	3,464(2)	153
A-6	N1—H1A…O3	0,93(2)	2,35(2)	3,255(1)	164(1)
	N1—H1B…O2	0,86(2)	2,36(2)	3,082(1)	141(2)

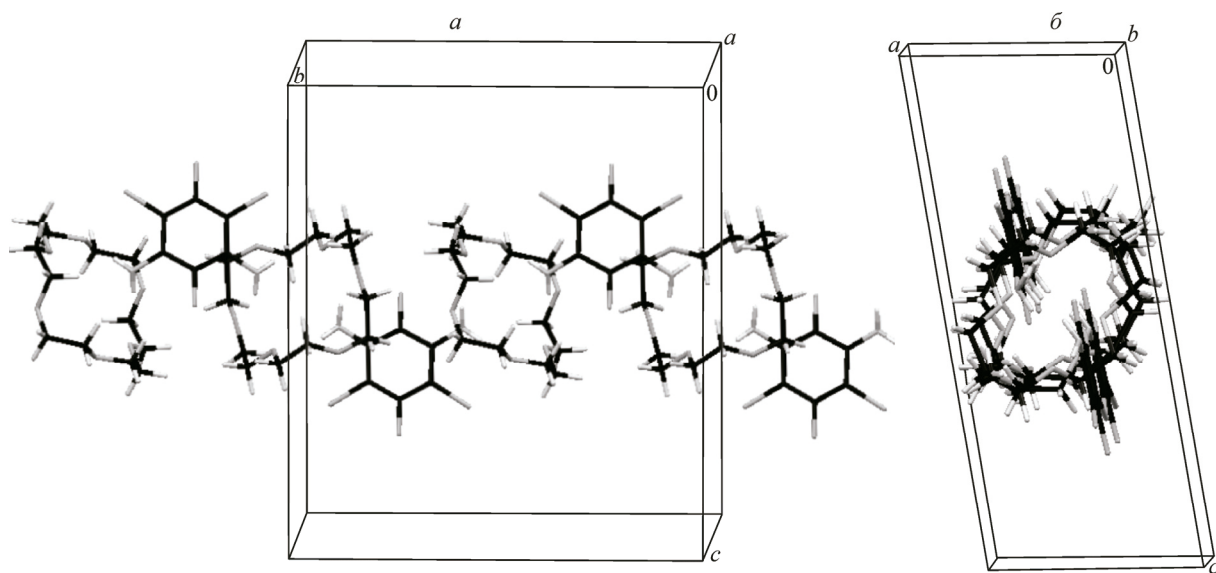


Рис. 5. Стержень ассоциата А-2: вид сбоку (а), с торца (б)

строение стержня А-5, характерное для ассоциатов частично фторированных фенилендиаминов.

Независимо от конформации краун-эфира, центроиды шести кислородных атомов лежат на прямой линии, которая, по сути, является осью стержня. Стержни параллельны одной из кристаллографических осей или их векторной сумме (см. табл. 2, колонка 3 и рис. 5, 6). Длина звена стержня (l_U) равна модулю оси кристаллографической ячейки или модулю векторной суммы осей (см. табл. 2, колонка 4). Аминогруппы находятся вблизи оси, однако центры масс молекул диаминов смещены к периферии стержней. По отношению друг к другу соседние молекулы фенилендиамина расположены диаметрально противоположно, образуя зигзаг. Плоскости ароматических колец диаминов имеют небольшой (до 24°) наклон к оси стержня (см. табл. 2, колонка 7) и практически всегда параллельны между собой (см. табл. 2, колонка 8). Плоскости соседних молекул краун-эфира наклонены к оси под углами $\sim 33\text{---}67^\circ$ и дополнительными

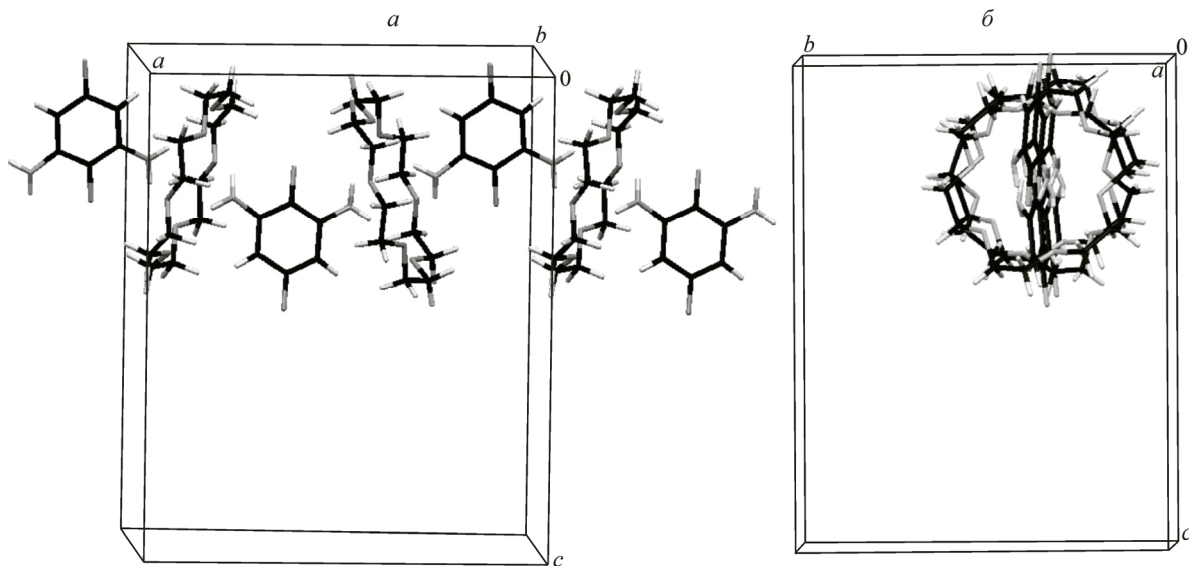


Рис. 6. Стержень ассоциата А-5: вид сбоку (а), с торца (б)

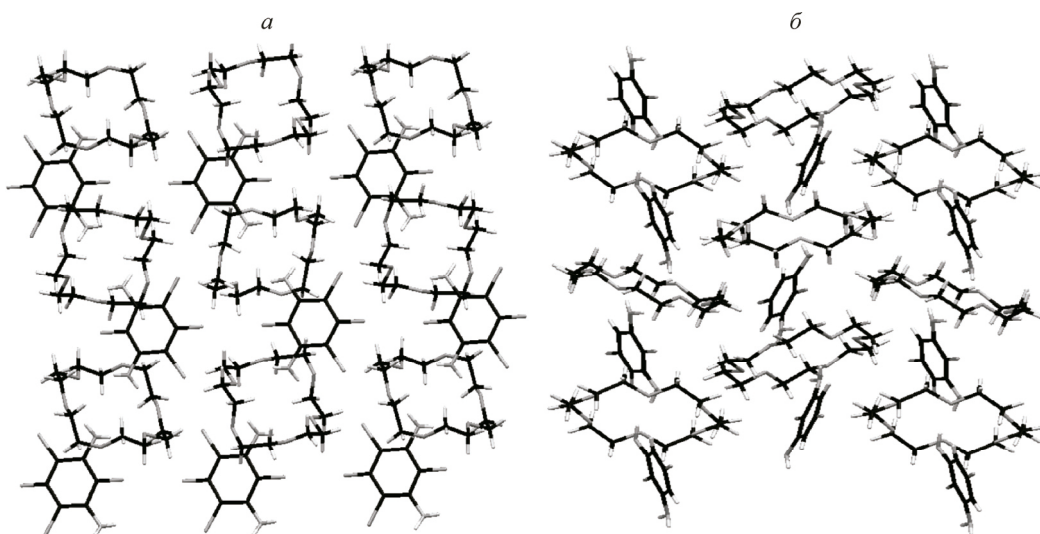


Рис. 7. Расположение стержней "выступ к впадине": без смещения, ассоциат А-2 (а); со смещением, ассоциат А-5 (б)

$180 - \alpha$ (см. табл. 2, колонка 5), а между собой образуют двугранные углы 34—112° (см. табл. 2, колонка 6), также формируя зигзаг (см. рис. 1, б). В стержнях, содержащих молекулы краун-эфира в двух конформациях, имеет место небольшое различие в углах наклона плоскости центроидов атомов кислорода к оси.

В кристаллах ассоциатов А-1—А-6 стержни расположены по типу "выступ к впадине". В ассоциатах тетрагалогенированных фенилендиаминов А-1—А-3, так же как и в А-7, звенья соседних стержней расположены без смещения относительно друг друга (см. табл. 2, колонка 9, рис. 7, а); роль выступов играют молекулы фенилендиаминов, ароматическое кольцо которых выходит на ~30—40 % за периметр стержня, задаваемый кольцом краун-эфира. Не исключено, что такой способ расположения звеньев находится во взаимосвязи с практически параллельным оси стержня расположением плоскости ароматического кольца (угол наклона составляет 1—4°). В ассоциатах А-4—А-6 и А-8, содержащих частично фторированные фенилендиамины, так же как и в ассоциатах А-9 и А-10, содержащих помимо атомов фтора группу(ы) CF_3 , звенья в соседних стержнях смещены относительно друг друга на 16—25 % длины; при этом выступами являются молекулы краун-эфира (см. рис. 7, б). Отметим, что наклон ароматического кольца к оси в этом случае составляет уже 12—24°.

Строение ассоциатов X_n -замещенных ($X = \text{Cl}$, $n = 1, 2, 3$; $X = \text{H}$, $n = 1, 2$) полифтор-*мета*-фенилендиаминов (А-1—А-6, А-8) подобно строению ассоциатов перфторированных соединений (А-7, А-9, А-10) [1, 2], а также галогенозамещенных α, α' - и α, γ -диаминопиридинов [3]. Следовательно, геометрическая конфигурация 1D ансамбля задается исключительно *мета*-расположением аминогрупп в кольце ароматического компонента. Тем не менее архитектура сокристаллов, существенным признаком которой является параллельное расположение стержней, в деталях (длина звена, угол наклона краун-эфира и фенилендиамина к оси стержня, взаимное смещение звеньев в соседних стержнях и т.п.) испытывает влияние расположения и природы заместителей в ароматическом кольце.

Так, например, длина звена в 1D ансамблях симметричных фенилендиаминов, т.е. содержащих одинаковые заместители в положениях 4 и 6, больше, чем в ансамблях несимметричных фенилендиаминов, содержащих заместители различной природы (А-7 *vs* А-1, А-8 и А-9; А-2 *vs* А-1; А-10 *vs* А-9). Исключением является пара А-5 *vs* А-8. Влияние объема *ортого*-заместителя по отношению к аминогруппе на длину звена проявляется по-разному в ассоциатах симметричных и несимметричных арилендиаминов. В ассоциатах симметричных фенилендиаминов при переходе А-5 → А-7 → А-2 → А-10 увеличение объемов обоих *ортого*-заместителей (Н, F, Cl,

CF_3 соответственно) монотонно увеличивает l_U на $0,9 \text{ \AA}$. В ассоциатах несимметричных фенилендиаминов при переходе в ряду **A-8**, **A-1**, **A-9** диапазон изменения l_U существенно меньше ($0,18 \text{ \AA}$), и зависимость от объема заместителя, скорее, обратная. Следует подчеркнуть, что эти наблюдения относятся сугубо к геометрии фенилендиамина и не учитывают влияния электронной природы заместителей.

Нами показано [10], что длина звена 1D ансамблей фенилен- и пиридилендиаминов с *мета*-расположением аминогрупп коррелирует линейно с мольной теплотой плавления сокристаллов ($\Delta H_U = 475 \pm 35 - (23 \pm 2)l_U \text{ кДж/моль}$, коэффициент корреляции $R = 0,954$; стандартное отклонение $SD = 5,7$; 13 объектов). Различие в теплотах плавления сокристаллов и, следовательно, в длинах звеньев стержней обусловлено, скорее всего, характеристиками водородной связи в синтоне $\text{C}_{\text{арилен}}-\text{N}-\text{H}\dots\text{O}-\text{C}_{\text{краун}}$, испытывающей влияние природы и расположения заместителей в ароматическом кольце по отношению к аминогруппам. Можно предположить, что накопление в *ортого*-положениях к аминогруппам атомов фтора, обладающих сильным $-I$ -эффектом, будет уменьшать электронную плотность на азоте и способствовать ослаблению связи в синтоне $\text{C}_{\text{арилен}}-\text{N}-\text{H}\dots\text{O}-\text{C}_{\text{краун}}$ и, тем самым, увеличению длины звена. Действительно, в ансамблях полифторфенилендиаминов длина звена увеличивается в ряду **A-6** < **A-5** < **A-8** < < **A-7**, т.е. с увеличением количества атомов фтора в *ортого*-положениях к аминогруппам.

Следует отметить, что описанные выше закономерности не распространяются на ассоциат **A-4**, фенилендиамин которого в положении 5 содержит атом водорода, а не фтора, что отличает от остальных субстратов.

Практически одинаковая длина звеньев в ассоциатах **A-1**, **A-9** и **A-8** означает, что один атом Cl и одна группа CF_3 как заместители в *ортого*-положении к аминогруппе оказывают влияние, формально сопоставимое с влиянием атома водорода и существенно меньшее, чем атом фтора в **A-7**. В то же время при переходе от **A-1** к **A-2** и далее к **A-3**, т.е. с увеличением количества атомов хлора в *ортого*-положениях к аминогруппам, или от **A-9** к **A-10**, т.е. с удвоением количества групп CF_3 , длина звена ансамблей увеличивается. В связи с этим отметим, что в работе [12] предложена интерпретация эффекта галогенов (F, Cl, Br) в 2,4,6-тригалогензамещенных фенилмочевинах на баланс сил двух типов водородных связей фрагмента $\text{H}-\text{N}$: внутримолекулярной с *ортого*-расположенными галогенами и межмолекулярной с растворителями (диметилсульфоксидом и трифенилfosфиноксидом). В цитируемой работе показано, что при переходе от атомов фтора к атомам хлора и брома межмолекулярная водородная связь ослабляется в большей степени, чем следовало ожидать, исходя из электроотрицательности галогенов. Этот эффект объяснен усилением конкурирующего внутримолекулярного взаимодействия при увеличении объема галогена. Следуя этому предположению, увеличение длины звена 1D ансамблей с накоплением атомов хлора и групп CF_3 в *ортого*-положениях к аминогруппам следует связать с усилением внутримолекулярного взаимодействия атомов водорода аминогрупп с этими заместителями вследствие увеличения их объема по сравнению с атомами H и F и относительным ослаблением межмолекулярной водородной связи в синтоне $\text{C}_{\text{арилен}}-\text{N}-\text{H}\dots\text{O}-\text{C}_{\text{краун}}$. Судя по длинам звеньев в ассоциатах, баланс внутри- и межмолекулярного взаимодействий обеспечивает влияние двух атомов хлора, сопоставимое с влиянием двух атомов фтора (**A-2** vs **A-7**), а трех атомов хлора или двух CF_3 -групп — большее, чем трех атомов фтора (**A-3** и **A-10** vs **A-7**).

ВЫВОДЫ

Таким образом, в работе получена и изучена методом РСА новая группа объектов для инженерии кристаллов — ассоциаты 18-краун-6 с полифторхлорзамещенными и частично фторированными *мета*-фенилендиаминами, которые являются супрамолекулярными 1D ансамблями на основе синтона $\text{C}_{\text{краун}}-\text{O}\dots\text{H}-\text{N}$. Установлено, что природа и расположение заместителей в ароматическом кольце влияют на геометрический параметр ансамбля — длину его звена; предложена интерпретация эффектов заместителей, учитывающая их электроотрицательность и геометрические размеры.

Работа выполнена при финансовой поддержке Российского фонда фундаментальных исследований (проект № 15-03-02729а).

СПИСОК ЛИТЕРАТУРЫ

1. Кусов С.З., Гатилов Ю.В., Багрянская И.Ю. и др. // Изв. АН. Сер. хим. – 2010. – № 2. – С. 375 [Kusov S.Z., Gatilov Yu.V., Bagryanskaya I.Yu. et al. // Russ. Chem. Bull. (Int. Ed.). – 2010. – **59**. – P. 382].
2. Vaganova T.A., Kusov S.Z., Shundrina I.K. et al. // J. Mol. Struct. – 2011. – **995**. – P. 109.
3. Vaganova T.A., Kusov S.Z., Shundrina I.K. et al. // J. Mol. Struct. – 2013. – **1033**. – P. 27.
4. Цивадзе А.Ю. // Бутлеровские сообщ. – 2002. – **2**. – С. 17.
5. Ваганова Т.А., Кусов С.З., Родионов В.И. и др. // Изв. АН. Сер. хим. – 2007. – № 11. – С. 2163 [Vaganova T.A., Kusov S.Z., Rodionov V.I. et al. // Russ. Chem. Bull. (Int. Ed.). – 2007. – **56**. – P. 2239]; Vaganova T.A., Kusov S.Z., Rodionov V.I. et al. // J. Fluor. Chem. – 2008. – **129**. – P. 253; Kusov S.Z., Rodionov V.I., Vaganova T.A. et al. // J. Fluor. Chem. – 2009. – **130**. – P. 461.
6. Shundrina I.K., Vaganova T.A., Kusov S.Z. et al. // J. Fluor. Chem. – 2009. – **130**. – P. 733; Shundrina I.K., Vaganova T.A., Kusov S.Z. et al. // J. Fluor. Chem. – 2011. – **132**. – P. 207; Vaganova T.A., Shundrina I.K., Kusov S.Z. et al. // J. Fluor. Chem. – 2012. – **135**. – P. 129; Vaganova T.A., Shundrina I.K., Kusov S.Z. et al. // J. Fluor. Chem. – 2013. – **149**. – P. 57.
7. Vaganova T.A., Brusentseva T.A., Filippov A.A. et al. // J. Polym. Res. – 2014. – **21**, N 11. – Art. 588.
8. Яковлева Е.Ю., Шундринина И.К., Ваганова Т.А. // Журн. аналит. химии. – 2013. – **68**, № 12. – С. 1171 [Yakovleva E.Yu., Shundrina I.K., Vaganova T.A. // J. Anal. Chem. – 2013. – **68**, N 12. – P. 1044]; Яковлева Е.Ю., Шундринина И.К., Герасимов Е.Ю. и др. // Журн. физ. химии. – 2014. – **88**, № 3. – С. 508 [Yakovleva E.Yu., Shundrina I.K., Gerasimov E.Yu. et al. // Russ. J. Phys. Chem. A. – 2014. – **88**, N 3. – P. 521].
9. Малыхин Е.В., Ваганова Т.А., Плеханов А.И. и др. // Матер. X Всеросс. конф. "Химия фтора". – Томск, 2015. – С. 91.
10. Ваганова Т.А., Гатилов Ю.В., Малыхин Е.В. // Изв. АН. Сер. хим. – 2015. – № 8. – С. 1766.
11. Rodionov V.I., Vaganova T.A., Malykhin E.V. // J. Fluor. Chem. – 2015. – **180**. – P. 98.
12. Giannicchi I., Jouvelet B., Isare B. et al. // Chem Comm. – 2014. – **50**. – P. 611.
13. Sheldrick G.M. // SHELXL-97. Programs for Crystal Structure Analysis, Release 97-2, University of Gottingen, Gottingen, Germany, 1998.
14. Spek A.L. // J. Appl. Crystallogr. – 2003. – **36**. – P. 7.
15. Macrae C.F., Edgington P.R., McCabe P. et al. // J. Appl. Cryst. – 2006. – **39**. – P. 453.
16. Simic V., Bouteiller L., Jalabert M. // J. Am. Chem. Soc. – 2003. – **125**. – P. 13148.
17. Allen F.H., Kennard O., Watson D.G. et al. // J. Chem. Soc. Perkin Trans. 2. – 1987. – S1.
18. Зефиров Ю.В., Зоркий П.М. // Успехи химии. – 1989. – **58**. – С. 713.
19. Громилов С.А., Байдина И.А. // Журн. структур. химии. – 2004. – **45**. – С. 1076 [Gromilov S.A., Baydina I.A. // Russ. J. Struct. Chem. (Engl. Transl.). – 2004. – **45**. – P. 1031].
20. Ebenezer S., Muthiah P.T. // J. Mol. Struct. – 2011. – **990**. – P. 281; Robert F., Naik A.D., Hidara F. et al. // Eur. J. Org. Chem. – 2010. – P. 621.
21. Desiraju G.R. // Acc. Chem. Res. – 2002. – **35**. – P. 565; Dunitz J.D., Gavezzotti A., Schweizer W.B. // Helv. Chem. Acta. – 2003. – **86**. – P. 4073; Dunitz J.D., Taylor R. // Chem. Eur. J. – 1997. – **3**. – P. 89.